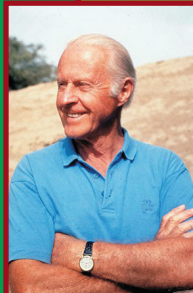
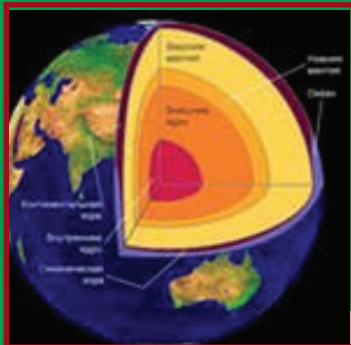


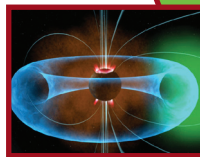
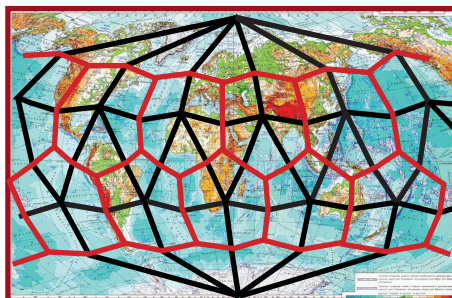
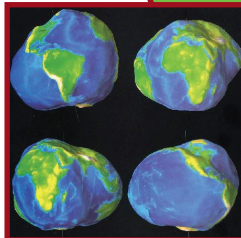
Г
Е
О
Г
Р
А
Ф
И
Я



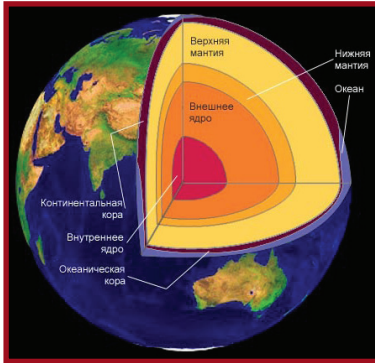
Тур Хейердал



Макаров, Гончаров, Морозов



Золотое сечение в географии



В данной главе будут рассмотрены примеры действия законов Золотого сечения в области географии, изучающей внутреннее строение Земли и рельеф земной поверхности.

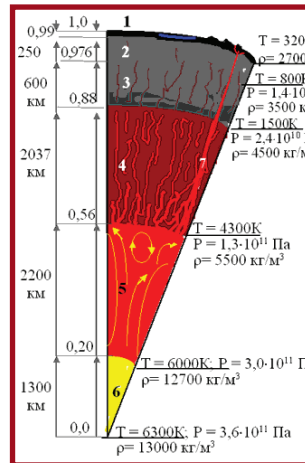
Земля, как и другие планеты земной группы, имеет слоистое внутреннее строение.

Она состоит из твёрдых силикатных оболочек (коры, крайне вязкой мантии), и металлического ядра. Внешняя часть ядра жидкая (менее вязкая, чем мантия), а внутренняя – твёрдая.

Геосферы «твёрдой» Земли: земная кора, верхняя мантия, астеносфера, нижняя мантия, внешнее ядро, переходная зона, внутреннее ядро (субъядро).

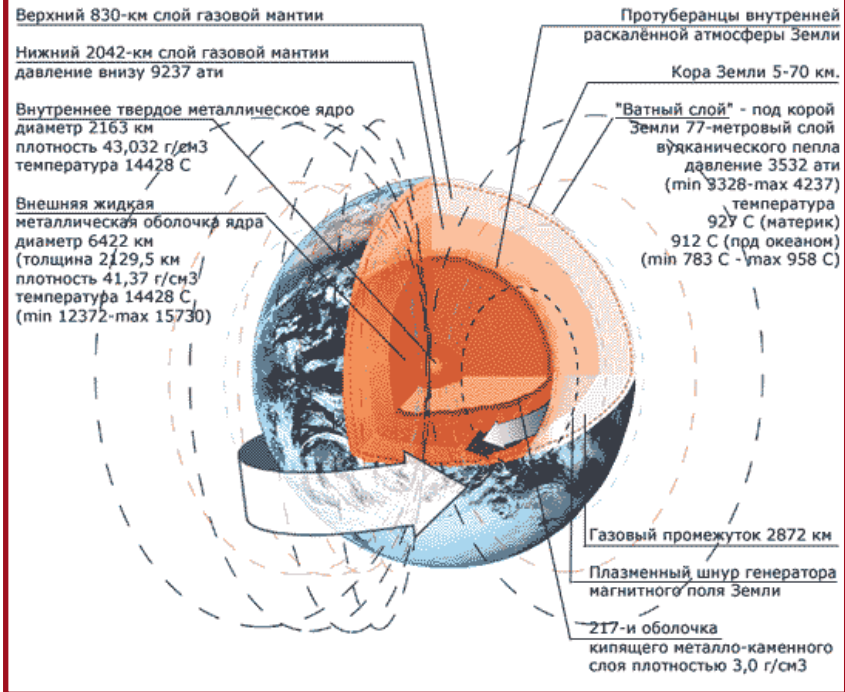
Толщина и плотность геологических слоёв Земли

Слой	Толщина слоёв (от поверхности к центру сферы) км	Плотность г/см ³
Литосфера (местами варьируется от 5 до 200 км)	0—60	—
Кора (местами варьируется от 5 до 70 км)	0—35	2,2—2,9
Самая верхняя часть мантии	35—60	3,4-4,4
Мантия	35—2890	3,4-5,6
Астеносфера	100—700	—
Внешнее ядро	2890—5100	9,9—12,2
Внутреннее ядро	5100-5378	12,8-13,1

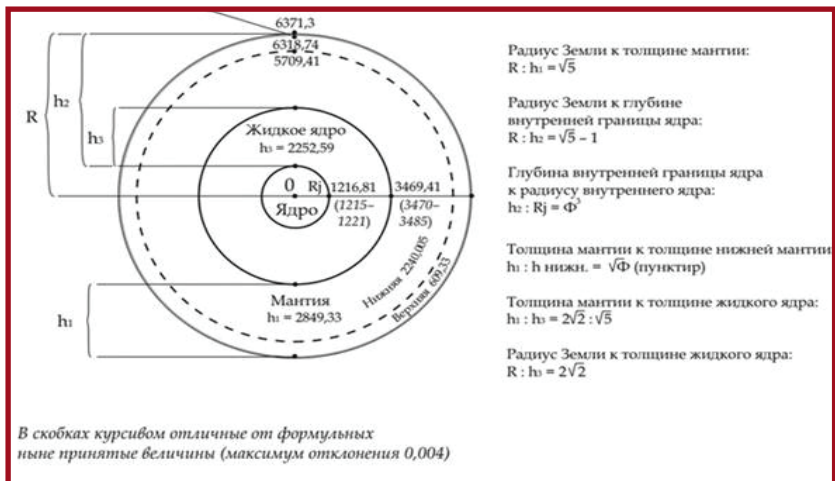


Отсчёт толщины геологических слоёв из центра Земли к поверхности

ГЕОГРАФИЯ



Формульные значения размеров в км при среднем радиусе Земли 6371,3 км.



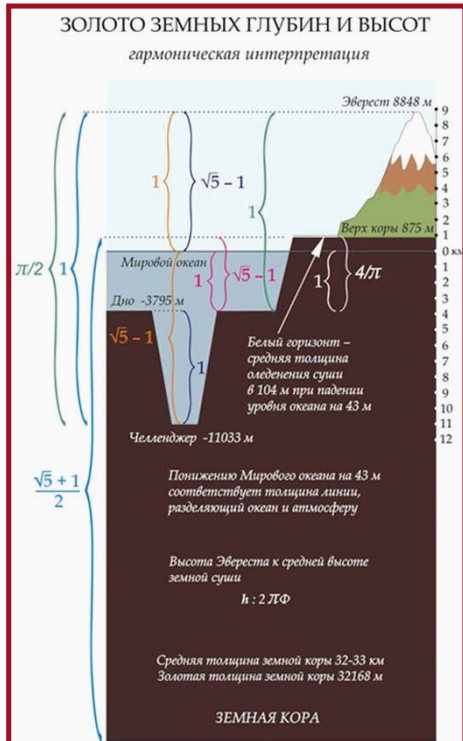
Средний радиус Земли $R=6371$ км. Толщина земной мантии без учёта твёрдой литосферы $h_1 = 2850$ км.

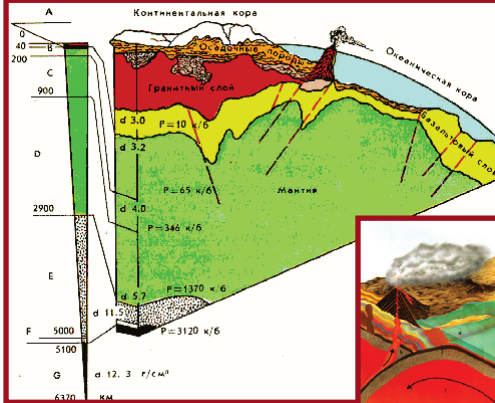
Отношение радиуса Земли к толщине мантии даёт пропорцию: $6371 : 2850 = \sqrt{5} : 1 = 2,236..$ Сумма толщины литосферы и радиуса ядра находится в пропорции двойного минорного золотого к толщине мантии (1,236:1). (Минорное золото $(\sqrt{5} - 1)/2=0,618$). Двойное минорное золото – пропорция радиуса Земли и глубины границы внутреннего (твёрдого) и внешнего (жидкого) ядра нашей планеты:

$6371 \text{ км} : 5154 \text{ км} = 1,236$. Отношение радиуса Земли к удвоенной толщине внешнего ядра: $6371 \text{ км} : 4500 \text{ км} \approx \sqrt{2}$.

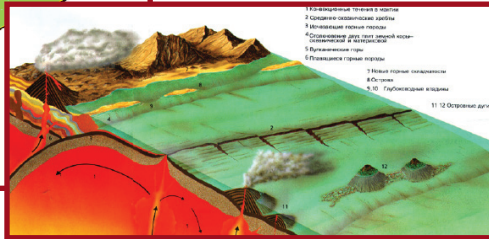
Рельеф земной поверхности

Джомолунгма – самая высокая вершина Земли (по-гималайски «Крыша Мира») Эверест, достигает 8848м, самое глубокое дно – впадина в Марианском жёлобе Тихого океана вблизи Филиппин Челленджер. Её глубина 11033 м. Абсолютный перепад высот земной коры 19881м. Средняя толщина земной коры по разным оценкам от 32 до 33 км.: $32500 \text{ м} : 19881 \text{ м} = 1,63 \rightarrow \Phi$. Получается, что величина перепада поверхности планеты увязана с величиной внешней твёрдой оболочки Земли по мажорному золоту $(\sqrt{5} + 1)/2=1,618..$ (Мажорное золото $(\sqrt{5} + 1)/2=1,618..$).





Под горными массивами земная кора толще, чем под материками (и значительно толще, чем под океанами).



Средняя величина между максимумом и минимумом материковой коры составляет 52560 м.

Если сравнить величины материковой коры и среднее значение всей коры, получим: $52\ 560\ м : 32\ 500\ м = 1,617 \rightarrow \Phi$

Большинство пропорций в перепадах земной коры – пропорции, близкие к числу двойного минорного золотого сечения.

Условно профиль суши и дна мирового океана образует две гигантские «ступени» – океаническую и материковую. Вторая поднимается над первой в среднем на 4670 м (средняя высота суши 875 м; средняя глубина океана 3795 м).

Пропорция перепада высот дна и суши к среднему уровню дна: $4670\ м : 3795\ м = 1,231 \rightarrow \sqrt{5} - 1$

Таково же соотношение и максимальных (относительно нуля поверхности океана) перепадов поверхности земной коры: $11033\ м : 8848\ м = 1,247 \rightarrow \sqrt{5} - 1$

Высота Эвереста над современной нулевой отметкой океана к глубине впадины (взятой от океанского дна) также даст приближение к двойному минорному золотому сечению:

$$8848\ м : 7238\ м = 1,222 \rightarrow \sqrt{5} - 1$$

Величина перепада ступеней 4670 м от уровня океана не зависит. И если средние высоты определены верно, значит, по золотой формуле уровень воды в Мировом океане

должен быть снижен на 43 метра. На схеме «Золото земных глубин» эта величина равна толщине линии, разделяющей поверхность океана и атмосферы.

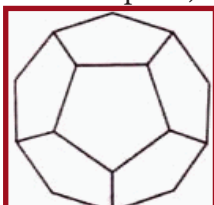
Площадь Мирового океана относится к площади суши как $\sqrt{2} + 1$ к 1. Чтобы отношение площади Мирового океана к площади суши соответствовало двойному минорному золоту, необходимо чтобы уровень мирового океана упал на 43 м, изъятая при этом океанская вода ляжет в виде ледового покрова на континенты. Толщина континентальной ступени возрастёт примерно на 104 м. Если такое случится, уровень океана упадёт и максимальная глубина Марианской впадины будет не 11033 м, а 10990 м, и Эверест, не увеличиваясь ни на миллиметр, станет выше на те же 43 метра, а отношение будет равно: $10990 \text{ м} : 8891 \text{ м} = \sqrt{5} - 1$

Согласно формуле, уровень Мирового океана должен быть на 43 м ниже. Толщина материковой ступени (вместе с ледниками) будет 4774 м, а от нулевой отметки до дна океана окажется 3752 м: $4774 \text{ м} : 3752 \text{ м} = 1,272$. В таблице представлены данные, полученные путём научных измерений и рассчитанные по формулам золотых пропорций.

Масса планеты			Масса оболочки планеты			Масса ядра планеты		
Данные, полученные путём научных исследований	Расчёт через формулы Золотого сечения	Общепринятые значения	Данные, полученные путём научных исследований	Расчёт через формулы Золотого сечения	Общепринятые значения	Данные, полученные путём научных исследований	Расчёт через формулы Золотого сечения	Общепринятые значения
5,97	5,9698	5,9698	3,68	3,6894	3,6894	1,932	2,2802	2,2802

Общеприняты данные, полученные методом расчётов по золотым пропорциям. Внутреннее строение Земли организовано по соотношениям Золотых пропорций.

Вопрос о форме Земли постоянно волновал учёных, начиная с античных времён. Платон стал основоположником так называемой икосаэдро-додекаэдрической доктрины устройства мироздания. Суть этой доктрины состоит в том, что додекаэдр и икосаэдр – это типичные формы природы во всех её проявлениях, начиная с микромира и заканчивая космосом. **Додекаэдр** (греческое dodeka – 12 и hedra грань) это – правильный многогранник, составленный



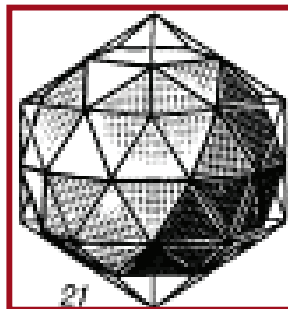
Додекаэдр



Икосаэдр

из 12 равносторонних пятиугольников. **Икосаэдр** – (от греческого ico – шесть и hedra – грань) правильный выпуклый многогранник, составленный из 20 правильных треугольников.

Икосаэдрододекаэдр-многогранник, у него 32 грани (12 правильных пятиугольников и 20 правильных треугольников, 30 одинаковых вершин, в которых сходятся 2 треугольника и 2 пятиугольника, имеет 60 одинаковых рёбер, каждое из которых разделяет треугольник и пятиугольник. По мнению Винтера, энергетический каркас Земли представляет собой додекаэдр, вставленный в икосаэдр, который, в свою очередь, вставлен во второй додекаэдр. Геометрические отношения между указанными многогранниками представляют собой золотое сечение.



Древние мудрецы говорили: «Чтобы познать невидимое, смотри внимательно на видимое». В плане сакральных сил додекаэдр самый мощный многогранник.

Не зря Сальвадор Дали для своей «Тайной вечере» использовал эту фигуру. В ней от сильных фигур двенадцати пятиугольников, силы концентрируются в одной точке – на Иисусе Христе.



Кристаллоподобная модель Земли



Археологами были найдены «странные предметы» IV века н.э. в форме додекаэдра непонятного назначения – найденные во Вьетнаме и римской эпохи, найденные в Альпах. В центрах граней предметов – отверстия, в вершинах – сферические выпуклости. При соединении центров треугольников построенной системы получается такой же додекаэдр – правильный 12-гранник с пятиугольными гранями.

Возникло предположение, что «странный предмет» – модель силовой системы (с различными функциями в вершинах и центрах граней), вместе с икосаэдром составляющий силовой каркас Земли. Правее изображены тела Платона: тетраэдр (А), гексаэдр (Б), октаэдр (В), додекаэдр (Г), икосаэдр (Д). Справа треугольно-пятиугольная система, образующая сферу.

Когда гипотеза о шарообразной форме Земли получила подтверждение, возникло предположение, что по своей форме Земля представляет собой додекаэдр. Платон писал: «Земля, если взглянуть на неё сверху, похожа на мяч, сшитый из 12 кусков кожи». Эта гипотеза Платона нашла дальнейшее научное развитие в трудах физиков, математиков и геологов.

Французский геолог де Бимон и известный математик Пуанкаре считали, что форма Земли представляет собой деформированный додекаэдр.

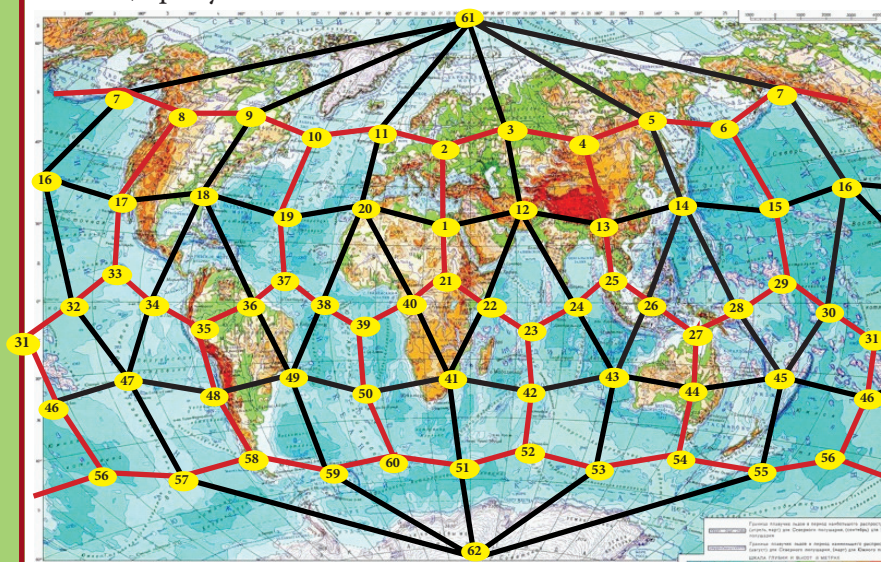
Российский геолог С. Кислицин также разделял мнение о додекаэдрической форме Земли. Он высказал гипотезу о том, что 400-500 млн. лет назад геосфера додекаэдрической формы превратилась в гео-икосаэдр. Однако такой переход оказался неполным и незавершённым, в результате чего гео-додекаэдр оказался вписанным в структуру икосаэдра.

Гипотеза о икосаэдро-додекаэдрической форме Земли была подвергнута проверке. Учёные совместили ось додекаэдра с осью глобуса и, вращая вокруг неё этот многогранник, обратили внимание на то, что его рёбра совпадают с гигантскими нарушениями земной коры (например, с Срединно-Атлантическим подводным хребтом). Взяв икосаэдр в качестве многогранника, они установили, что его рёбра совпадают с более мелкими членениями земной коры (хребты, разломы и т.д.). Эти наблюдения подтверждают гипотезу о близости тектонического строения земной коры с формами додекаэдра и икосаэдра.

Процессы, идущие в недрах и на поверхности планеты, оказывающие влияние на изменение живого мира и развитие

цивилизаций, изучали Н. Гончаров, В. Макаров, В. Морозов. Они достаточно убедительно обосновали гипотезу, по которой ядро Земли имеет форму и свойства растущего кристалла, что оказывает воздействие на развитие всех природных процессов, идущих на планете. Икосаэдро-додекаэдрическая структура Земли (ИДСЗ), проявляется в том, что в земной коре проступают проекции вписанных в земной шар правильных многогранников: икосаэдра (20-гранника) и додекаэдра (12-гранника). Их вершины и середины рёбер, называемые авторами «узлами», обладают рядом специфических свойств, позволяющих объяснить многие непонятные явления.

Взяв за основу составленную Гончаровым геодезическую карту узлов ИДСЗ, мы составили таблицу соответствующих узлам географических объектов и проанализировали их специфику.



Очаги наиболее крупных культур и цивилизаций древнего мира расположены закономерно относительно географических полюсов и экватора планеты. В таблице даны пояснения.

ГЕОГРАФИЯ

№ узла	Геодезический расчёт		Географический объект	Специфика узла
	Широта	Долгота		
1	31°43'02",9 с.ш.	31°09' в.д.	Пирамиды Гизы	Древние цивилизации Древнеегипетская культура
2	52°37'21",5 с.ш.	31°09' в.д.	Киев	Древние цивилизации Трипольская культура
3	58°16'57",1 с.ш.	67°09' в.д.	Тюмень	Древние цивилизации Великообская культура
4	52°37'21",5 с.ш.	103°09' в.д.	Байкал	Древние цивилизации Тюркская культура
5	58°16'57",1 с.ш.	139°09' в.д.	Камчатка. Ключевская сопка	Действующий стратовулкан
6	52°37'21",5 с.ш.	175°09' в.д.	Алеутские о-ва	Вулканическое происхождение, постоянно дымящиеся вулканы, гейзеры
7	58°16'57",1 с.ш.	148°51' з.д.	Аляска,	Действующий вулкан Катмай. Аляскинское течение
8	52°37'21",5 с.ш.	112°51' з.д.	С е в . А м е р и к а . г.Девон Крик Скалистые горы	Вулканические явления землетрясения, термические источники, месторождения Мб, Аu, Аg, Сu
9	58°16'57",1 с.ш.	76°51' з.д.	Северо-восточная Канада Залив Унгава	Следы древних поселений дольмены. Кочевье птиц гагар
10	52°37'21",5 с.ш.	40°51' з.д.	А т л а н т и ч е с к и й о к е а н Л а б р а д о р с к а я котловина	Подводные вулканы
11	58°16'57" с.ш.	4°51' з.д.	Стоунхендж	Древние цивилизации Кельтская культура
12	26°33'54" с.ш.	67°09' в.д.	Тибет. Пакистан	Древние цивилизации Протоиндийская культура
13	31°43'02" с.ш.	103°09' в.д.	Юго-Западный Китай. Чэнду, Мяньян	Древние цивилизации Царство Шу
14	26°33'54" с.ш.	139°09' в.д.	Тихий океан, впадина 9000м. Море Дьявола	Аномальная зона. Район зарождения ураганов
15	31°43'02" с.ш.	175°09' в.д.	Тихий океан. Западн. часть Гавайского архипел.	Зона подводных землетрясений
16	26°33'54" с.ш.	148°51' з.д.	Тихий океан Восточные Гавайи	Тектонический разлом
17	31°43'02" с.ш.	112°51' з.д.	Калифорния	Кайнозойский вулканический пояс
18	26°33'54" с.ш.	76°51' з.д.	Багамы	О-ва кораллового происхождения. Частые ураганы. Скопления птиц (Фламинго)
19	31°43'02" с.ш.	40°51' з.д.	С р е д и н н о - А т л а н т и ч е с к и й хребет	Древние вулканы. Сейсмически активная зона

ГЕОГРАФИЯ

20	26°33'54" с.ш.	4°51' з.д.	Северо-западная Африка. Марокко. Атласские горы.	Складчатые горы докембрийской платформе. Города-лабиринты. Наскальные рисунки.
21	10°48'44" с.ш.	31°09' в.д.	Африка Судан	Древние цивилизации 4-3 тысячелетие до н.э. Культура гос-ва Куш, Мероитское царство
22	0°	49°09' в.д.	Индийский океан. Прибрежная зона Сомали	Мезозойские магнитные аномалии. Вулканическая цепь Коморских о-вов
23	10°48'44" ю.ш.	67°09' в.д.	Индийский океан Архипелаг Чагос, Сейшелы	Коралловые атоллы Мальдивского хребта. Богатая фауна.
24	0°	85°09' в.д.	Индийский океан. Никобарские о-ва	Высокосейсмичная зона деформаций тектонических плит.
25	10°48'44" с.ш.	103°09' в.д.	Малайзия. Камбоджа Сиамский залив	Острова вулканического происхождения
26	0°	121°09' в.д.	о. Суловеси, Макасарский пролив	Огненный пояс сейсмической активности
27	10°48'44" ю.ш.	139°09' в.д.	П-ов Арнемленд, Арафурское море	Древние цивилизации Др. культура Австралии Месторождения урано-радиевых руд
28	0°	157°09' в.д.	Меланезия	Район вулканизма и землетрясений. Месторождения цветных металлов
29	10°48'44" с.ш.	175°09' в.д.	Маршалловы о-ва	Коралловые известняки, образованные на вершинах подводных вулканов.
30	0°	166°51' з.д.	Тихий океан, о-ва Гилберта, Кирибати	Крупнейшие в мире залежи фосфоритов, цветных металлов.
31	10°48'44" ю.ш.	148°51' з.д.	Таити, Туамоту	Древние цивилизации Полинезийская культура Почвы вулканического происхождения.
32	0°	130°51' з.д.	Восточно-Тихоокеанское поднятие, часть подводного океанического хребта	Район сейсмической активности, частые землетрясения с неглубоко залегающим очагом
33	10°48'44" с.ш.	112°51' з.д.	Восточно-Тихоокеанское поднятие, о. Клиппертон	Крупное скопление железомарганцевых руд.
34	0°	94°51' з.д.	Тихий океан. Галапагосские о-ва	Острова вулканического происхождения
35	10°48'44" ю.ш.	76°51' з.д.	Перу. Восток горной системы Анд	Древние цивилизации Культура инков и Yanasha Герцинская складчатая система Пуны. Зона землетрясений, действующих вулканов

ГЕОГРАФИЯ

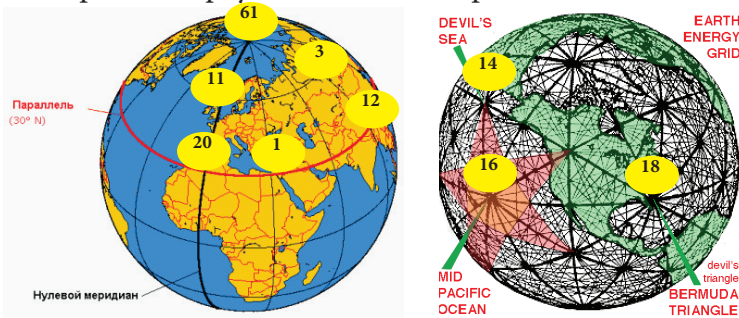
36	0°	58°51' з.д.	Южная Америка, устье Амазонки, приток Риу-Негру Стык Бразилии, Венесуэлы, Гайаны. Рорайма, «дом богов»	Древние цивилизации Область мирового генетического фонда фауны и флоры.
37	10°48'44" с.ш.	40°51' з.д.	Атлантический океан. Трансформный разлом (жёлоб) Вима, подводный канал переноса вод Антарктики.	Область встречных течений Северо и Южно пассатного.
38	0°	22°51' з.д.	А т л а н т и ч е с к и й океан Трансформный экваториальный разлом срединно атлантического хребта (жёлоб) Романш. Глубина 7800м.	На дне жёлоба обнаружены породы верхней мантии Земли
39	10°48'44" ю.ш.	4°51' з.д.	Атлантический океан Ангольская котловина.	Зона океанических завихрений, встречных течений: Южно-пассатного, Гвинейского. Намагнитченность пород океанической коры. Тектонические напряжения
40	0°	13°09' в.д.	Юго-Западная Африка. Габон	Урановые рудники. Залежи золота, железо-марганцевых руд, нефти.
41	26°33'54" ю.ш.	31°09' в.д.	Южная Африка, ЮАР, мыс Ньюкасл	Месторождения урановых, марганцевых руд, золота, платины, алмазов и полезных ископаемых
42	31°43'02" ю.ш.	67°09' в.д.	Индийский океан, Пересечение Западного и Срединного индийских хребтов. Котловина Крозе	Южно-индийский максимум возд. вихревых потоков. Высокая сейсмичность, подводный вулканизм.
43	26°33'54" ю.ш.	103°09' в.д.	Котловина Натуралиста Разлом Диамантина	Зона тектонического поднятия
44	31°43'02" ю.ш.	139°09' в.д.	Австралия. Хребет Флиндерс. Солёное оз. Фром.	Зона тектонического опускания. Залежи полезных ископаемых Va, Fe, Ag, полиметаллы
45	26°33'54" ю.ш.	175°09' в.д.	Новая Зеландия. море Фиджи, жёлоб Кермадек	Множество подводных хребтов и вулканов
46	31°43'02" ю.ш.	148°51' з.д.	С р е д и н н о - Атлантический хребет	Большая сейсмическая активность.
47	26°33'54" ю.ш.	112°51' з.д.	о-ва Сала и Гомес	Разрушенные вершины подводного вулканического массива – продолжения разлома Пасхи

ГЕОГРАФИЯ

48	31°43'02" ю.ш.	76°51' з.д.	Тихий океан, Перуанско-Чилийский желоб	Стык материковой Южно-Американской плиты и океанической плиты Наска. Новые виды морских животных
49	26°33'54" ю.ш.	40°51' з.д.	Атлантический океан	Разломная зона Риу-гранди Рио де Жанейро
50	31°43'02" ю.ш.	4°51' з.д.	Атлантический океан	Капская котловина. Зона встречных течений Бразильского, Ангольского
51	58°16'57" ю.ш.	31°09' в.д.	Африканско-Антарктический хребет	Сейсмически опасная зона, подводные острова вулканического происхожд.
52	52°37'21" ю.ш.	67°09' в.д.	Индийский океан Хребет Кергелен-Гаусберг	Глыбовое поднятие океан. рельефа. Вулканическая активная зона.
53	58°16'57" ю.ш.	103°09' в.д.	Австрало-Антарктическое поднятие	Н е р а в н о м е р н о р а с п р е д е л е н н ы е трансформные разломы
54	52°37'21" ю.ш.	139°09' в.д.	Австрало-Антарктическое поднятие	Подводные хребты островов вулканического происхождения.
55	58°16'57" ю.ш.	175°09' в.д.	Плато Кэмпбел, о. Кемпбелл	Активная тектоническая деятельность. Повышенная вулканическая активность.
56	52°37'21" ю.ш.	148°51' з.д.	Тихий океан. Южно-Тихоокеанское поднятие	Зона сквозных секущих разломов с интенсивной сейсмичностью и вулканизмом.
57	58°16'57" ю.ш.	112°51' з.д.	Котловина Белингаузена. Разлом Элтонин	Интенсивная сейсмичность. Смешанные виды вулканизма
58	52°37'21" ю.ш.	76°51' з.д.	Тихий океан. Чилийское поднятие.	Тектонически нестабильная зона «Тихоокеанского огненного кольца»
59	58°16'57" ю.ш.	40°51' з.д.	Атлантический океан, хребет Скоша	Подводное поднятие с группой вулканических островов.
60	52°37'21" ю.ш.	4°51' з.д.	Срединно Атлантический хребет, о. Гоф	Острова вулканического происхождения
61	с е в е р н ы й географический полюс			
62	ю ж н ы й географический полюс			

Центр протоиндийской культуры (Мохендж-Даро, Тибет) (12) и культура острова Пасхи (47) в Тихом океане находятся на 27-м градусе северной и южной широты.

Эти районы лежат на противоположных концах оси, проходящей через центр Земли. От Мохенджо-Даро (12) до Северного географического полюса (61) и от острова Пасхи (47) до Южного полюса (62) одинаковое расстояние. От пирамид Гизы Древнего Египта (1) до Мохенджо-Даро (12) ровно в два раза ближе. Линия, соединяющая эти две цивилизации (1), (12) и Северный полюс (61), образует равносторонний треугольник на поверхности Земли.



В западной вершине (20) первого построенного на глобусе треугольника (20, 61, 12) располагалась берберо-туарегская цивилизация Северной Африки с древними галереями наскальных рисунков. В серединах сторон этого треугольника оказались древнеегипетская (1), кельт-иберская (11) и Великая обская (3) культуры.



Цивилизация района
Двуречья



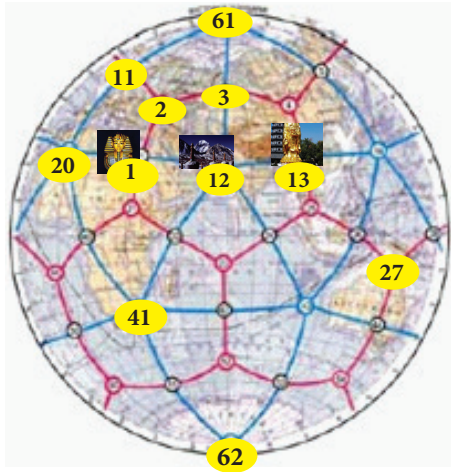
Древний
Египет



Тибетская
цивилизация

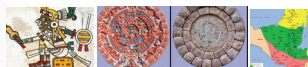
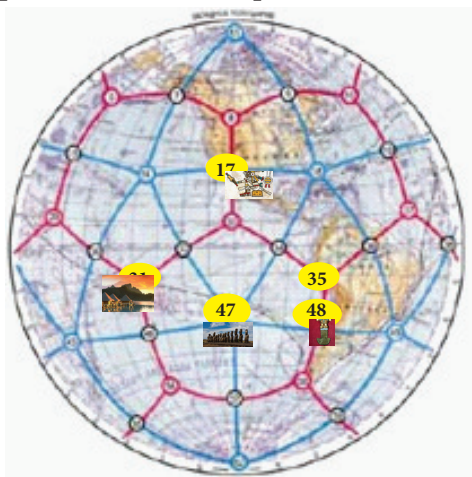


Китайская
цивилизация



В центре треугольника – очаг древней сельскохозяйственной культуры Европы – Трипольской (2). Позднее здесь образовался центр славянского общества – Киев.

Вся поверхность Земного шара покрыта двадцатью такими же равносторонними треугольниками. В «узлах» системы (вершины, середины сторон и центры треугольников) оказались почти все известные очаги древних культур и цивилизаций. Остров Пасхи (47), центр полинезийской культуры – остров Таити (31), Перу (35), и Драконовы горы со священными наскальными росписями на юго-востоке Африки (41), центр древней культуры Австралии – полуостров Арнхемленд (27) и др.



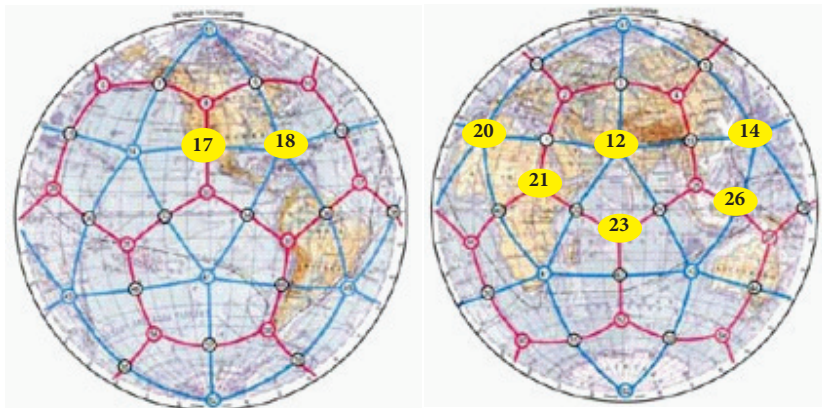
Цивилизации центральной Америки. Ацтеки, майя



Древняя цивилизация инков

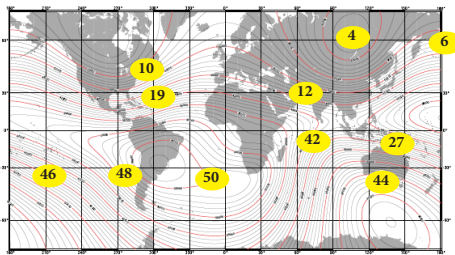
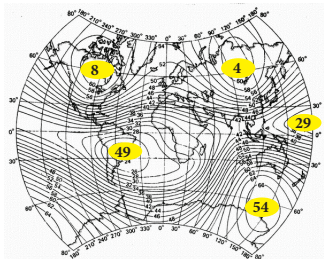
Сопоставление многих общепланетарных явлений, процессов и структур с узлами и рёбрами ИДСЗ показало, что Русская, Сибирская, Африканская древние геологические платформы, Канадская и Гренландская части Северо - Американской платформы, а также все три части Антарктической платформы (разделённые понижениями) территориально совпадают с треугольными гранями икосаэдра, а разделяющие платформы геосинклинальные области (подвижные пояса земной коры) идут вдоль рёбер между ними.

Срединно-океанические хребты и глубинные разломы земной коры тянутся, как правило, вдоль или параллельно рёбрам системы. Например, Срединно-Атлантический хребет, хребет Ломоносова в Северном Ледовитом океане, пояс хребтов вокруг Антарктиды, зона разломов Оуэна в Индийском океане, разлом Анкоридж-Прадхо-Бэй на Аляске. Рёбра и узлы системы, как правило, совпадают с сейсмически и вулканически активными районами планеты. Правильность выбора модели ИДСЗ подтверждена результатами фотосъёмки из космоса. По космическому снимку, сделанному с «Зонда-5», гигантский разлом Бахадор-Бахария – Западный Пакистан, тянется точно по ребру икосаэдра от узла 20 в Марокко к узлу (12) в Пакистане.



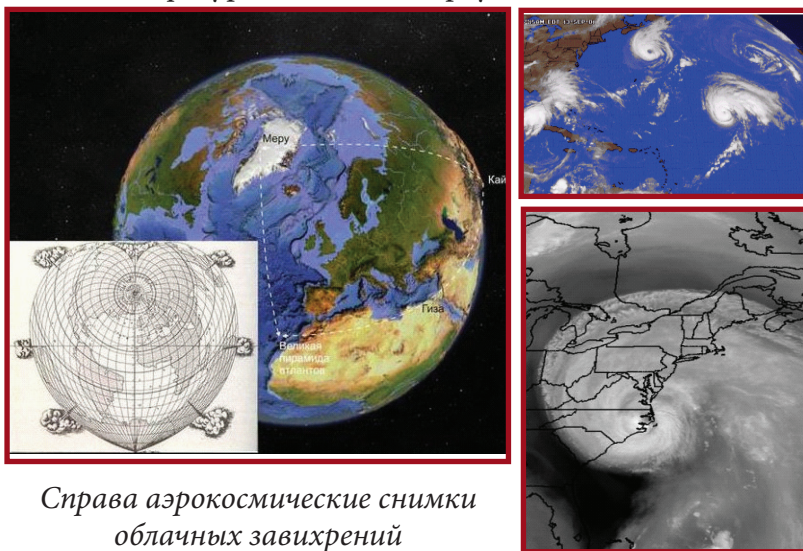
Некоторые узлы ИДСЗ на космических снимках наблюдаются в виде кольцевых поверхностных образований диаметром около 300 км (20 – Марокко, 18 – Багамы, 17 – Калифорния) или круговых облачных скоплений (21 – Судан, 23 – архипелаг Чагос, 26 – Макасарский пролив).

Центры всех мировых аномалий магнитного поля планеты расположены в узлах системы: чаще всего в центрах треугольников (узлы 4, 6, 8, 54, 29), а одна – Бразильская – в центре пятиугольника (49). Причём площадь каждой аномалии равна территории, занимаемой треугольником, а конфигурация аномалии повторяет его конфигурацию.



Мировые центры максимального и минимального атмосферного давления также расположены в узлах ИДСЗ (4, 6, 10, 12, 19, 27, 42, 44, 46, 48, 50). С узлами совпадают и постоянные районы зарождения ураганов: Багамские острова (18), Аравийское (12) и Арафурское (27) моря, районы южнее Японии (14) и севернее Новой Зеландии (45), архипелаги Туамоту и Таити (31).

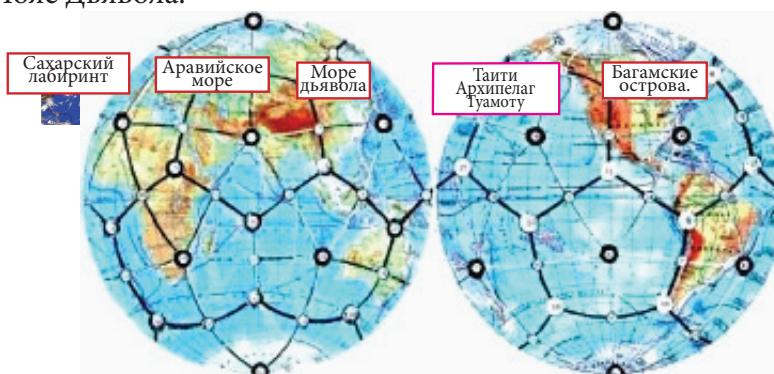
На метеорологических картах, изображающих воздушные течения в высоких слоях атмосферы, видны гигантские треугольники, повторяющие сеть силовых треугольников планеты, а на глобальных космических снимках Земли облачные завихрения и массы облаков совпадают по своей конфигурации с этими треугольниками.



*Справа аэрокосмические снимки
облачных завихрений*

Многие гигантские завихрения океанических течений действуют вокруг узлов системы, часто совпадая с центрами атмосферного давления. Крупнейшая, но малоизвестная аномальная зона располагается в районе Мраморного моря. Следующая аномальная зона совпадает с одним из треугольников икосаэдра, образуя тектонический клубок, где сплетаются в единый узел горные системы: Гималаи, Гиндукуш, Каракорум, Куньлунь, Памир, Тянь-Шань, Алтай. Наиболее крупные аномалии: Бермудский треугольник, Море дьявола. Бермудский треугольник лежит между Майами на полуострове Флорида, Бермудскими островами и Пуэрто-Рико. В Тихом океане к Юго-Востоку от Японских островов между Японией, северной частью Филиппин и островом Гуам находится треугольник не менее опасный, чем Бермудский. Это море Дьявола.

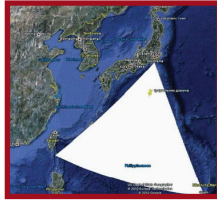
Аномальные зоны, расположенные вдоль 30 градуса северной широты: Бермудский треугольник, Море Дьявола, Гибралтарский клин, Афганская аномальная зона, Гавайская аномалия к северо-востоку от Гавайских островов образуют Пояс Дьявола.



Впервые гипотезу о существовании связи между этими зонами выдвинул американский гидробиолог И.Сандерсон в 1968 году. Именно он обратил внимание на то, что зоны отстоят друг от друга на 72 градуса. Причина возникновения Пояса дьявола до сих пор неизвестна.

Большинство зон имеют форму овала или ромба с одинаковым для всех наклоном на восток. Дальнейшие исследования обнаружили пять таких же ромбовидных районов в южном полушарии, равномерно расположенных по земной окружности с одинаковым наклоном на восток и на одинаковом удалении от экватора, но не к северу, а к югу!

Треугольник
Моря Дьявола



Бермудский
треугольник

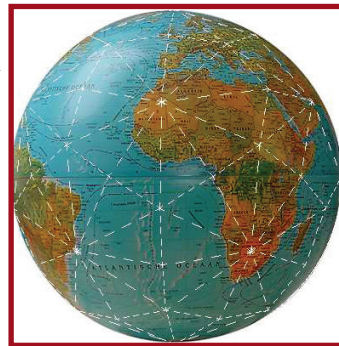


Общим признаком для восьми районов (исключая Средиземноморский и Афганский) оказалось то, что все они расположены поблизости от отчётливо прослеживаемых тёплых океанических течений.



В результате сложного взаимодействия космических сил и таких геофизических явлений, как геологические трещины, разломы, образуются геопатогенные зоны естественного происхождения, которые представляют собой опасность для человека, т.к. они несут отрицательную энергию. К этой группе относятся и чисто космические излучения, которые образуют на земной поверхности своеобразные стены правильной формы в виде решёток.

Известна сетка Хартмана. В местах пересечений линий, так называемых узлах, примерно через 10 м, происходит наращивание, большое скопление энергии, они и представляют собой очаги опасности, особенно если эти узлы сопряжены с другими источниками вредных излучений. Доказано, что проживание или долгое пребывание в геопатогенной зоне разрушительно действует на человеческий организм.



Сетка Хартмана

Чтобы объяснить, каким образом воздействует Земля-кристалл на процессы в океане и в атмосфере, физик Эдуард Бороздим использовал космические снимки для обнаружения закономерностей распределения по Земному шару атмосферных явлений. Просмотрев несколько тысяч снимков, Э. Бороздим убедился, что места зарождения циклонов и антициклонов, легко выявляемые по рисунку облаков, закономерно распределяются по поверхности планеты – они образуют сети, хорошо совпадающие с вершинами Земли-кристалла.

Приверженцы реалистических гипотез утверждают, что причиной всех катаклизмов в аномальных зонах является опасная метеорологическая обстановка. Тут нередко дуют сильные ветра, происходят мощные штормы, внезапно налетают тропические ураганы и смерчи.

Воздушные и водные потоки оказывают одновременное воздействие на эти районы, поэтому угроза вдвойне усиливается. В числе причин называют также блуждающие волны, достигающие в высоту 30 метров. Ещё одна причина – инфразвуковое воздействие.

Крупнейшие залежи полезных ископаемых сосредоточены в узлах и рёбрах системы. Одни полезные ископаемые концентрируются у рёбер и вершин додекаэдра (железо, медь, никель), другие – у рёбер и вершин



икосаэдра (нефть, уран, алмазы), нефтеносные провинции Северного моря (11), Тюменской области (3), севера Африки и Аравии (ребро 20-12), Калифорнии – севера Мексиканского залива (ребро 17-18), Аляски (7), Габона – Нигерии (40), Венесуэлы, уран Габона (40), Калифорнии (17), уран и алмазы Южной Африки (41).

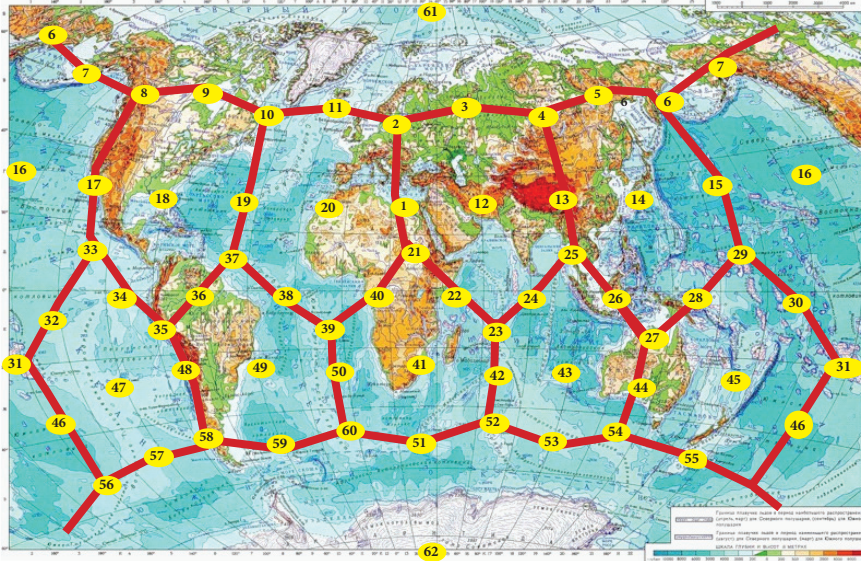
Доказано влияние ИДСЗ и на формирование биосферы Земли. Прослеживается цепь взаимодействия от силового узла и ребра системы к геофизической аномалии, затем к геохимическим и к биогеохимическим особенностям, то есть к флоре, фауне и человеку. Перелёты птиц на юг совершаются в узлы системы: на северо-запад и юг Африки (20 и 41), в Пакистан (12), Камбоджу-Вьетнам (25), на север и запад Австралии (27 и 43), в Патагонию (58). Морские звери, рыбы, планктон скапливаются в узлах системы. Киты и тунцы мигрируют из узла в узел, и притом по рёбрам системы. Возможно, на них воздействует поле силового каркаса ИДСЗ.

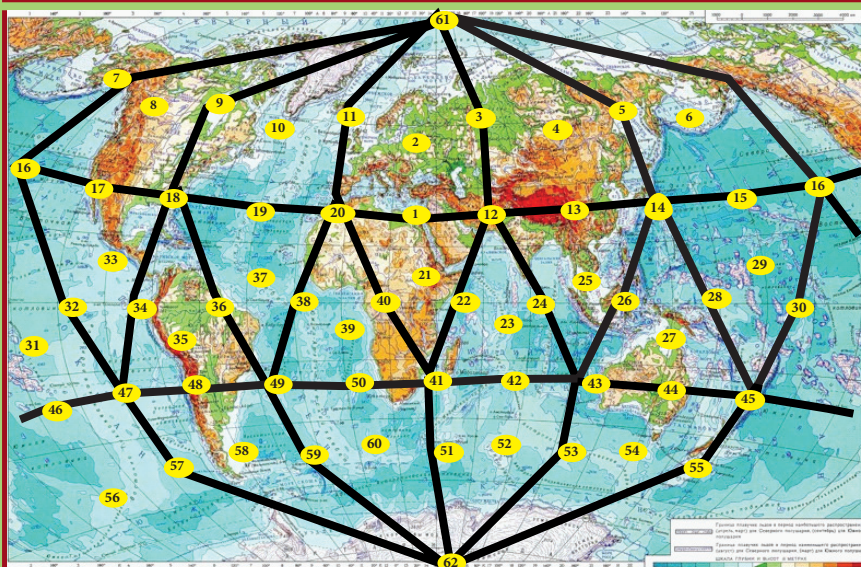
В узлах и вдоль рёбер системы, в соответствии с их функциями «убежищ жизни» и центров видообразования, сохранились реликтовые растения и животные: в Судане (21), Калифорнии (17), Габоне (40), на Дальнем Востоке России, на Сейшельских (23) и Галапагосских (34) островах. Во многих узлах есть эндемичные (нигде больше не встречающиеся)

растения и животные: на островах Галапагос (34), в озере Байкал (4), которое признано уникальной «лабораторией» видообразования.

Эволюция человека, как элемента биосферы, также связана с силовым каркасом ИДСЗ. Исследователь Полинезии Хироа показал, что полинезийская культура Тихого океана замкнута в громадный треугольник с вершинами у Гавайских островов, Новой Зеландии и острова Пасхи. Заселение «Великого Полинезийского треугольника» согласно Хироа происходило из его центра на островах Таити (31) к вершинам: на Гавайи (16), Новую Зеландию (45), остров Пасхи (47), а также к серединам сторон треугольника (30, 32, 46) по рёбрам додекаэдра ИДСЗ. Согласно же Т. Хейердалу, остров Пасхи был заселён переселенцами Древнего Перу. Этот район – центр соседнего, «Южноамериканского» треугольника ИДСЗ, для которого остров Пасхи также является вершиной. В один и тот же узел были направлены движения народов с противоположных сторон.

В «Европейском» треугольнике в направлении его вершин перемещались племена ариев (к 12), предков





туарегов (к 20), славян (к 2). В центре «Европейского» треугольника (2) находился центр индоевропейской языковой семьи, в Северной Монголии – центре «Азиатского» (4) – центр тюркской языковой семьи. В Перу – в центре «Южноамериканского» (35) – центр древних культур мочика и чиму – предков инков. В «Европейском» треугольнике расселены коренные европеоиды, в «Азиатском» – коренные монголоиды, а в «Африканском» – коренные негроиды.

У древних народов – египтян, шумеров, китайцев, майя была система географических координат. Согласно легенде, боги разделили небо над планетой на три зоны: северную, центральную и южную. Линии раздела прошли по 30–м параллелям северной и южной широты. Вдоль 30–й параллели северной широты были построены священные города древности от Тибета до Египта.

На южной широте находится долина Наска – насколько знаменитая, настолько же и загадочная. Огромные стилизованные изображения 18 птиц разных видов, обезьяны, касатки, паука, ящерицы и даже людей занимают плато площадью 500 кв. км. Кто «начертил» эти рисунки? Когда? Каким способом и для чего? Ответов пока нет.



Рисунки и аэрофотоснимки изображений долины Наска

Формирование рельефа планеты.

Проводя анализ формирования рельефа планеты, изучая её тектоническую жизнь, авторы доклада «В лучах кристалла Земли», Макаров, Морозов и Гончаров пришли к следующим выводам: начиная с протерозоя в рельефе планеты появляются линейно вытянутые в планетарном масштабе зоны геологической активности. То есть почти до двух миллиардов лет назад на поверхности планеты никаких следов проявления геометризма не наблюдалось. Четырём геологическим эрам соответствуют четыре силовых каркаса правильных «платоновых» тел: протерозою – тетраэдр (4 материковых «плиты», разделённые геосинклиналями – будущими океанами), палеозою – куб (6 плит), мезозою – октаэдр (8 плит) и кайнозою – додекаэдр (12 плит).

В каждой геологической эре происходила смена в тектонике, что указывает на кардинальную смену в процессах на глубине. Внутри каждой эры характер глобальных тектонических процессов существенно не менялся. Объяснение этому многие геологи находят в предположениях о существовании в мантии крупномасштабных движений,

связывающих в одно целое структуры на поверхности Земли. В качестве основного источника этих движений называется тепловая или гравитационная конвекция.

Относительно конвекции существует несколько мнений. Одни относят их к верхней мантии (В.В. Белоусов), другие – к нижней мантии и внешнему ядру (Е.В. Артюшков), третьи – (Л.Н.Латынина) к нижней и затем, как следствие, к верхней мантии, четвёртые - конвективные ячейки от границы раздела нижней мантии с внешним ядром до астеносферы (О. Сорохтин, А. Монин). К центру каждой грани, как и для обычного кристалла, направлен нисходящий гравитационный поток; от вершин граней, там, где наименьшая концентрация вещества вблизи кристалла, облегчённое вещество восходящими потоками устремляется к границе внешнего ядра с мантией. Здесь происходит частичная дифференциация его по плотности, после чего более лёгкая его часть внедряется в нижнюю мантию, становясь восходящей ветвью конвективного потока уже в этой оболочке, и т.д. Вертикальные потоки вещества всех оболочек Земли как бы нанизаны на единые радиусы, которые расходятся от её центра и выходят на поверхность в виде узлов силового каркаса ИДСЗ. Часть вещества потоков подкоровой оболочки внедряется в земную кору, а основная масса каждого из потоков замкнута на астеносфере.

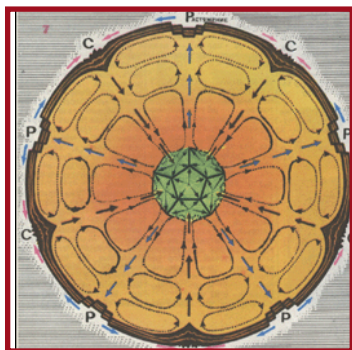


Схема внутренних потоков планеты: на поверхности нисходящими потоками создаются узлы и полосы сжатия коры, в комплексе образующие каркас сфероикосаэдра, а восходящими – узлы и полосы растяжения, образующие каркас сферододекаэдра

Подкоровое движение потока отмечается поверхностным вздыманием осадочных пород (альпийская складчатость) или подъёмом и растрескиванием платформенных частей (например, Восточно-Африканская система). Внедряющееся в земную кору по рёбрам додекаэдра вещество глубин способствует преобразованию вертикальных давлений в горизонтальные перемещения блоков коры в направлениях от рёбер додекаэдра (рифтовые зоны) к рёбрам икосаэдра, стремясь к созданию 12 пятиугольных литосферных плит.

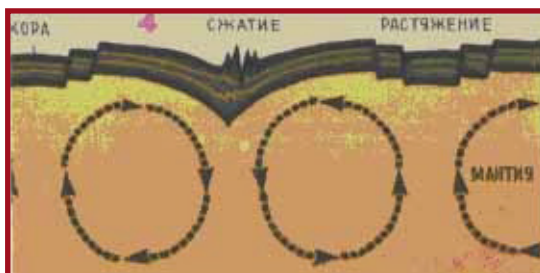


Механизм горизонтального перемещения земной коры на примере формирования «Пакистанской» плиты»

Согласно гипотезе Белоусова сжатие коры вызывают сходящиеся в мантии конвекционные потоки расходящиеся – растяжение.

Проанализировав и сравнив явления и процессы, происходящие в решётках каждого из двух многогранников ИДСЗ, обнаружилось, что они «выполняют» прямо противоположные функции. В рёбрах и узлах икосаэдра часто понижен рельеф, отмечается прогиб земной коры, осадконакопление. В рёбрах и узлах додекаэдра, наоборот, рельеф повышен, имеет тенденцию к повышению. Здесь идёт подъём вещества из глубин планеты, вещество глубин внедряется в земную кору.

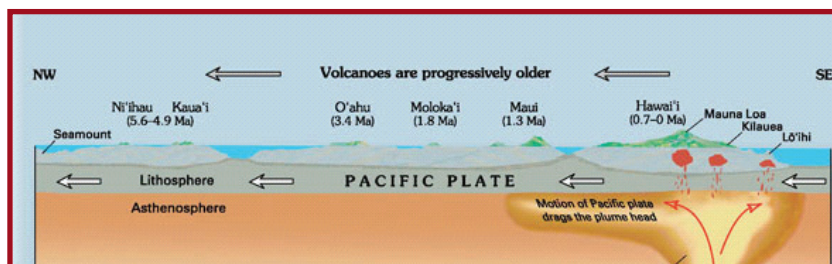
Сходящиеся под корой потоки вызывают сжатие коры, расходящиеся – растяжение.



Поднятия материковой коры в центрах треугольников и по рёбрам додекаэдра способствуют, перемещениям и поверхностных водных потоков – рек, а с ними и частиц вещества в тех же направлениях, то есть от центров треугольников к их вершинам.

С некоторыми вершинами кристалла связано возникновение существующих всего несколько часов гигантских воронок в атмосфере и гидросфере.

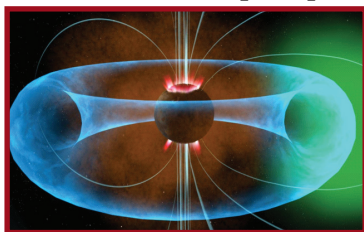
Они внезапно образуются во время «выброса» внутренней энергии Земли на её поверхность. Одна такая воронка, размером более 70 миль, направленная узким концом вниз, была сфотографирована пуэрториканскими летчиками. Известна гигантская воронка, периодически возникающая у Багамских островов. Причиной её образования являются так называемые «голубые пещеры», появляющиеся вследствие воздействия на горные породы выбросов энергии. Глубина их достигает 500 метров, и они связаны между собой. Во время приливов и отливов вода всасывается пещерами, образуя водовороты, в которых гибнут мелкие суда.



От восходящих центров распространяются микроэлементы и биологическая жизнь планеты – флора, фауна, человек. Периодически поступающая энергия отражается на её росте. Поэтому на поверхности Земли появляются полосы более густой растительности и пятна её аномального энергетического роста, совпадающие с границами многоугольников и их узлов, откуда идут вверх импульсы энергии.

Симметрии растущего геокристалла подчинены также гидросфера, атмосфера и магнитосфера. Авторы доклада предполагают, что механизм перемещения вещества согласно ИДСЗ может сыграть решающую роль в объяснении электрического, магнитного и гравитационного полей планеты. Эти поля могут быть созданы силовым полем кристаллизации внутреннего ядра планеты.

Завихрения мощных магнитных полей земного шара проявляются свечениями, фонтанами, бьющими из-под воды, водоворотами. В таких районах выходят из строя бортовые навигационные приборы.



В 1908 году в полярных зонах учёные обнаружили электрические токи (авроральные электроструи). Затем были обнаружены направленные к Земле экваториальные электроструи

Между отрицательным и положительным зарядами радиационного пояса приполярных космических зон в условиях магнитного поля Земли образуется «космическая батарея». Вращение планеты, и возникновение полярного холода, появление вечной мерзлоты, и образование вихрей, циклонов, торнадо, температурные эффекты в циклонах и смерчах объясняются взаимодействием «космической батареи» и магнитного поля Земли.



Земля-живой организм?

Гипотеза, в соответствии с которой Земля имеет форму сложного многогранника и является огромным растущим кристаллом, предполагает корректность использования понятий «живая» и «мёртвая» материя. До сих пор учёные, не могут определить границу между этими понятиями.

В природе существует не один, а сразу несколько признаков, отделяющих «живое» от «неживого».

Отсутствие границы между «живым» и «неживым» объясняется в первую очередь отсутствием общепринятого определения живого. Основные признаки жизни – рост, развитие, размножение и обмен веществ. Между набором признаков живого организма и образцом неживого, где нет ни одного признака живого, существует срединная прослойка «веществ» с неполным составом признаков жизни. К этой группе относятся вирусы и кристаллы.

Большинство учёных считают, что вирусы являются той самой субстанцией, которая проявляет себя одновременно и как живая, и как неживая материя.

Вирусы представляют собой молекулы ДНК в «сумке» из белка – нормальные, обычные «мёртвые» молекулы. Вирус можно выделить и поставить на сохранение. А когда понадобится, этот порошок снова перемешать с бульоном и наблюдать рост живой смеси ДНК и белка. Стирание границ между живым и неживым подтверждает открытие прионов.

Прионы – это сложные органические молекулы, отдельные белки, способные к размножению. Развитие био- и нанотехнологий позволяет полностью стереть эту грань. Построение целого спектра функциональных систем непрерывно усложняющейся конструкции от простых механических наноустройств до живых разумных существ – означает, что принципиальной разницы между живым и неживым нет, есть лишь системы, обладающие характеристиками, ассоциирующимися с жизнью.

Относительно кристаллов мнения учёных разделились. Одни считают, что кристаллы – не живая материя, но способны к росту, размножению и сохраняют «видовую тождественность». Другие, в частности, почётный член Израильской Академии наук Г.А. Войтович пишет:

«...Жизнь вирусов полна тайн. Эти живые существа, состоящие в основном из нуклеиновых кислот, способны образовывать кристаллические соединения. Живая материя – одноизомеричная, состоит из левых изомеров. А кристаллы состоят из двух изомеров, подобно неживой материи, между которыми невозможен обмен веществ. Однако вирусы с кристаллами – это живая материя, способная переходить при благоприятных условиях в моноизомерное состояние...».

Все кристаллы, обладают кристаллической решёткой.

Это своеобразный жёсткий каркас, состоящий из переплетённых ребер. В гнёздах, где пересекаются рёбра, находятся атомы данного вещества, которые, в свою очередь, находятся в постоянном колебательном движении. Если кристаллу сообщить извне дополнительную энергию, то атомы начнут колебаться сильнее, и в какой-то момент смогут даже выпасть из своей ячейки. В этом случае они либо, потеряв часть своей энергии, сразу вернуться в прежнее положение, либо покатятся по ребру. Катиться они будут до тех пор, пока не найдут свободную ячейку, где успокоятся, потеряв во время движения часть энергии.

Однако, в природе практически не существует чистых, абсолютно однородных кристаллов. Все они содержат в себе примеси чужеродных элементов. При этом если чужой атом по размеру больше, чем атом основного вещества, то, перемещаясь в возбуждённом состоянии по рёбрам решетки, он может оказаться в какой-то момент на поверхности кристалла, на границе сред. Вернуться назад вглубь кристаллической решётки такой атом уже не сможет. Таким образом, кристалл самоочищается изнутри, но при этом «грязь», то есть примеси, оседает на поверхности кристалла.

В жизни кристалла существует ещё одно загадочное явление. При определённых условиях – температуре, давлении – на поверхности кристалла образуется влага. Но это не конденсат. Влага не оседает на поверхность извне, она образуется внутри кристалла и поднимается на поверхность. Кристаллографы говорят: «Кристалл потеет». Кристаллическая решётка кристалла в целом имеет спиральную форму. Это легко подтверждается тем, что если кристалл зажать в специальные тиски и попытаться разрушить, как бы разрывая его на части, или сдвинув тиски в разные стороны параллельно плоскостям, то придётся затратить немалые усилия. Если повернуть тиски в разные стороны вращательным движением, кристалл разрушится.

Возможно и Земля является ничем иным, как гигантским кристаллом или обладает хотя бы частью перечисленных признаков и свойств. В таком случае станет понятно, почему всё многообразие минералов, по сути – вся таблица Менделеева, собрана в тонком поверхностном слое планеты, а глубинные её части более-менее однородны. Для планеты-кристалла эти минералы являются примесями, то есть шлаком или своеобразной «грязью». Эти шлаки закупоривают выходы энергии. Земля перегревается.

Если Земля – кристалл, то раскрывается ещё одна из загадок планеты: причины и способ образования мирового океана. Земля использует механизм самоочистения не только от примесей изнутри, но и от накопившейся «грязи» на поверхности. В ходе эволюции избавиться от «грязи» ей помогли простейшие организмы и растения.

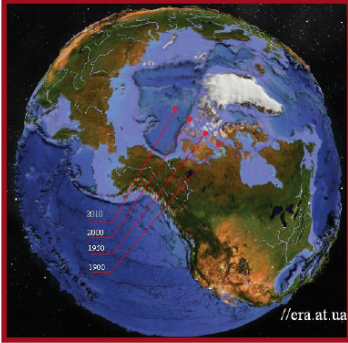
Со временем то, что не удавалось сжечь в процессе химических реакций, продолжало скапливаться на поверхности планеты в виде угольных отложений и под водой в осадочных слоях. Человек научился использовать и уничтожать накопившуюся «грязь». Сейчас роль переработчиков шлаков на поверхности Земли выполняют растения весь животный мир и человек.

Система пирамид

Ещё одна из загадок Земли – мировая система пирамид. Поскольку не существует до сих пор четкой научно доказанной теории возникновения системы пирамид, материалы носят информационный характер. Сеть пирамид покрывает все континенты, но среди них есть хорошо известные всем, которые являются культовыми, местом паломничества туристов. Есть пирамиды безымянные, дающие представление или о культурах их создавших или о специфике ландшафтов стран, где они возведены, или имеют естественное происхождение. Эти пирамиды представлены в виде иллюстраций, без комментариев.

Причиной появления системы пирамид на земном шаре учёные считают следующий факт: 13000 лет назад была катастрофа, изменившая орбиту оси Земли на $23,5^\circ$. После падения обломков Луны Фатты, орбита Земли была нестабильна. Согласно другой гипотезе, частично подтверждённой учёными историками-океанографами, причиной катастрофы, изменившей угол наклона земной оси и полюсов Земли является сильнейший ядерный взрыв, погубивший цивилизацию Атлантида и приведший к массовой гибели флоры и фауны Земного шара. Жители Атлантиды, достигшие высочайшего уровня развития, далеко превосходящего наше сегодняшнее состояние, неизвестно по каким причинам, взорвали случайно или преднамеренно собственную цивилизацию. Возможно тот политический деятель, у которого была «ядерная кнопка» не подозревал каким разрушительным может быть эффект её включения. В районе озера Титикака обнаружены подводные шахты со следами ядерного топлива-урана.

Система пирамид была создана, чтобы предотвратить возможные перевёртыши планеты, которая постепенно раскачивалась и в конечном итоге смогла бы перевернуться. Пирамиды могли бы стабилизировать магнитное поле Земли. Все пирамиды располагались в определённых точках Земли, чтобы изменить проходящий сквозь них электромагнитный



Смещение полюса

поток, потому что пирамида это не что иное, как обыкновенная линза, модулирующая проходящие через неё магнитные потоки.

В результате, нашим предкам удалось восстановить ось и орбиту нашей Земли.

Основные монументы (египетские и мексиканские пирамиды, тибетский комплекс пирамид, остров Пасхи, комплекс

Стоунхендж в Англии расположены на поверхности Земли в соответствии со строгой математической системой, связанной с икосаэдро-додокаэдроической структурой Земли.

Если от главной пирамиды Тибета – горы Кайлас провести ось на противоположную сторону земного шара, то эта ось укажет точно на остров Пасхи с его загадочными каменными истуканами.

Если соединить пирамидальную гору Кайлас с египетскими пирамидами, то продолжение этой линии выйдет на остров Пасхи, расстояние от Кайласа до египетских пирамид составляет ровно одну четверть линии Кайлас–о. Пасхи.

Если соединить остров Пасхи с мексиканскими пирамидами, то продолжение этой линии выводит на гору Кайлас, а расстояние от острова Пасхи до мексиканских



пирамид тоже составляет ровно одну четверть меридиональной линии остров Пасхи – Кайлас. Расстояния от тибетских пирамид до египетских и от острова Пасхи до мексиканских пирамид одинаковы. Расчёты на компьютерной модели земного шара подтвердили эти предположения.

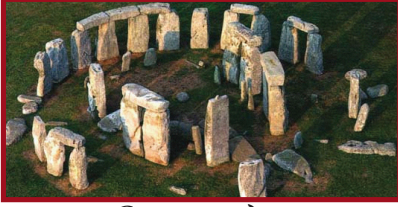
Две линии, соединяющие Кайлас с островом Пасхи через египетские и мексиканские пирамиды, очерчивают ровно одну четверть поверхности земного шара. Если же соединить линией египетские и мексиканские пирамиды, то эта «четверть» земного шара делится на два абсолютно равных треугольника.

Если соединить линией пирамиду Кайласа с монументом Стоунхендж, то продолжение этой линии выводит нас на остров Пасхи, а расстояние от Кайласа до Стоунхенджа составляет ровно одну треть меридиональной линии Кайлас – остров Пасхи. Эта линия делит указанную четверть земного шара пополам. Если отложить на этой линии одну треть расстояний от острова Пасхи, окажемся в Бермудском треугольнике.

Ещё одно удивительное совпадение: Стоунхендж и менее известный, но более древний и совершенный культовый центр эпохи Раннего Железного Века – арийский город-храм-обсерватория на Южном Урале, Аркаим находятся на одной широте. Каменные глыбы Стоунхенджа были, вероятно, доставлены на место строительства с расстояния в 380 км, примерно с восточной части Уэльса, поскольку это самый ближний каменный карьер.

Размер поселения Аркаима – 20000 кв.м, диаметр внутренней цитадели – 85 м, диаметр внешних стен – 143-145 м, толщина стен у основания – 3-5 м, высота грунтовой





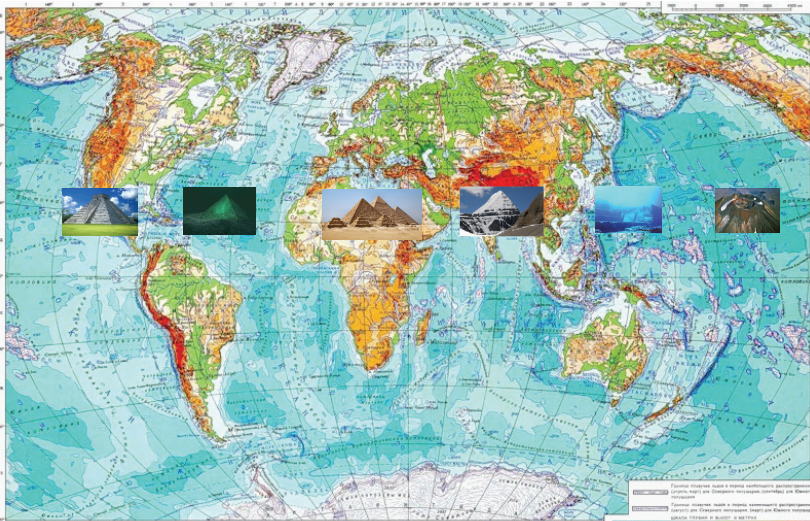
Стоунхендж



Аркаим

насыпи на месте стен – 3-3,5 м (высота – 1 м). В плане Аркаима 2 вписанных одно в другое кольца оборонительных сооружений, 2 круга припавших к стенам жилищ, центральной площади и круговой улицы с деревянным настилом и ливневой канализацией.

Всего жилищ с колодцами, погребями, очагами было 67 (из них 40 – во внешнем круге, 27 – во внутреннем). Вне всякого сомнения, Аркаим ориентирован входами в крепость по 4 с транам света, построен (частично – вырезан в грунте) по плану с высокой точностью (все кольцевые линии имеют один центр, все радиальные линии сходятся в центре). Все наиболее известные пирамиды расположены вдоль тридцатой параллели северной широты.



30-я параллель – это параллель первых цивилизаций обозримой истории: Египет, Шумер, Аккад, Халдея, Лагаш, Элам, Вавилония, Ассирия, Мидия, Персия, Аншан, Кармания, Дрангиана, Арейя, Гедросия, Хараппа, Ариаварта, Тибет... Соответственно, «случайности» вдоль 30-го градуса северной широты обнаруживаются на каждом шагу: в Египте, помимо пирамид, это столица Египта времен гиксосского господства Аварис; в Иордании – вырубленный целиком в скале город Петра; в Ираке – библейский Ур; в Иране – руины сразу двух городов, бывших в разное время столицами Персии: Персеполя и Пасаргады; в Пакистане – следы дравидической цивилизации Хараппы; в Индии – остатки арийского государства Ариаварта; в Китае – столица Тибета Лхаса. По ту сторону Атлантики 30-я параллель проходит через Бермудский треугольник...

В то же время не стоит забывать, что зона между 40°с.ш. и 40° ю.ш. наиболее благоприятна для биологических организмов на нашей планете. Может в этом и весь секрет?

Египет

Месторасположение пирамид: Гиза.

Автор Хеопс (Χέωψ или Σοῦφις).

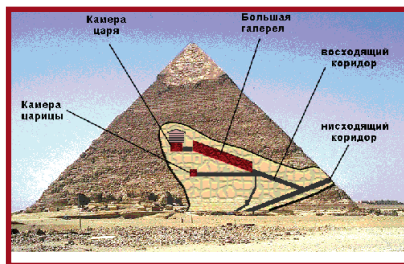
Время строительства ~от 2560 до ~2540 годов до н. э.

Размер основания 230 м. Высота (первоначально) 146,60 м. Высота (сегодня) 138,75 м. Наклон 51° 50'.

Согласно отметкам уровня воды на сфинксе, возраст пирамид значительно древнее, чем эра Египетских Фараонов, начавшаяся 6000 лет назад.



Египет. Пирамиды в Гизе



Устройство пирамиды

Три главные пирамиды были построены гораздо раньше остальных. Они установлены в направлении трёх звёзд в системе Ориона.

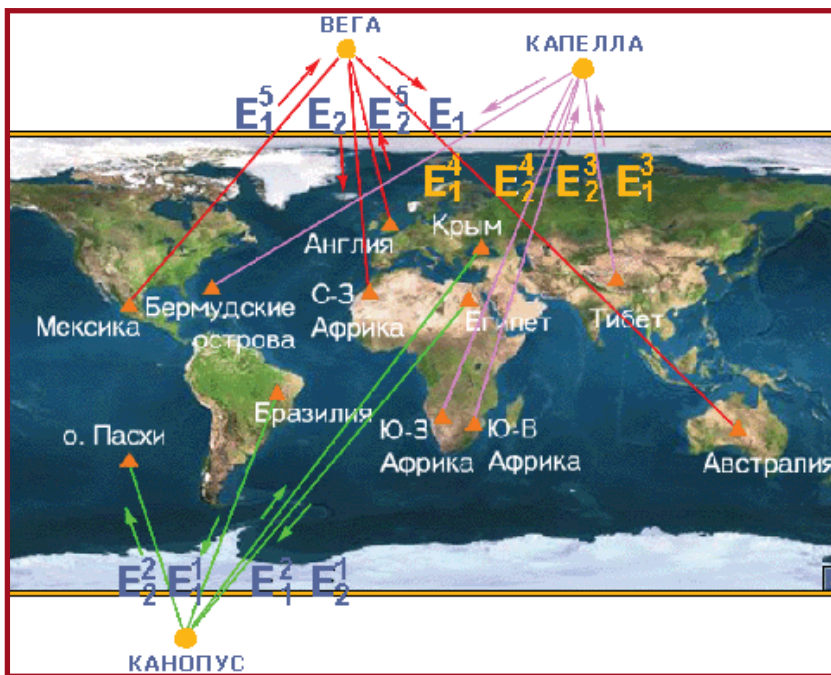


Аэросъёмка Египетских пирамид (слева) и фотография созвездия Орион (справа)

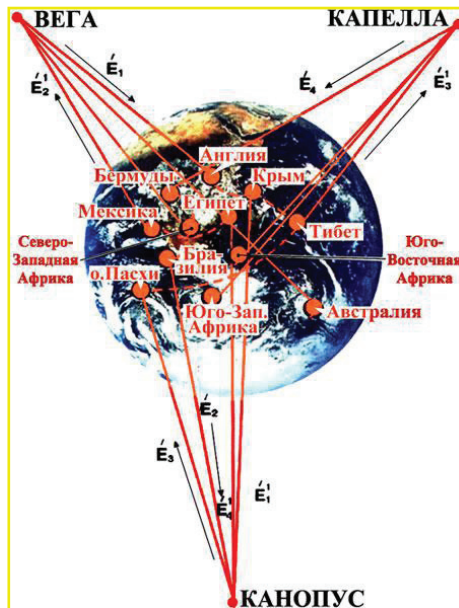
Существуют гипотезы, что каждая из этих пирамид, не только на Земле, но на Марсе, на Плутоне и на других планетах, были построены прогрессивными цивилизациями. И построены они были с использованием звуковых волн, которые вызывали с помощью определённых вибраций. Древние египтяне не были на это способны, но они узнали, как строить копии более маленьких пирамид.

В Египте более ста пирамид, семь из которых кардинально отличаются от всех остальных по методам и технологии строительства. Они настолько выпадают из общей картины примитивного общества Древнего Египта, что позволяют выдвинуть версию их создания задолго до первых фараонов теми, кого сами египтяне называли богами – цивилизацией, которая достигла очень высокого уровня развития.

Новейшие исследования показывают, что пирамида Хеопса имела техническое назначение и использовала энергию планеты. Целый ряд странных свойств пирамид и детали их внутренней конструкции оказываются далеко не случайными и имеют связь с неизвестной технологией работы этих гигантских «установок».



На схемах показана ориентация наиболее известных комплексов пирамид на созвездия Вега, Канопус и Капелла



Мексика

Мексиканские пирамиды по размерам не уступают египетским. Площадь основания 60-метровой пирамиды Солнца в городе Теотихуакан близ Мехико 200 кв. м. Все они усечены в верхней части. На образовавшихся террасах майя возводили храмы, к которым от самого основания вели широкие лестницы. По сути своей - это огромные алтари, на вершине которых совершались торжественные богослужения.



Пирамиды Солнца и Луны



Пирамида Кукулькан



Пирамида в Веракрус



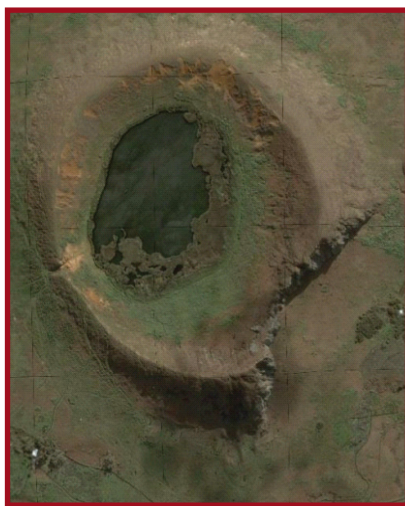
Пирамиды Теотиуакан

Пирамида Луны. Второе по размеру строение после пирамиды Солнца. Одно из самых больших зданий в Месоамерике. Пирамида расположена в северной части города Теотихуакан своими контурами повторяет Серро-Гордо. С некоторых индейских наречий название переводилось как «защитный камень» или «мать».

Остров Пасхи

Остров Пасхи – маленький остров в южной части Тихого океана, являющийся частью Чили. Местные жители называют остров – Рапа-Нуи (Rapa Nui), весь остальной мир – Остров Пасхи. Площадь острова – 163,6 кв.км.

Остров – вулканического происхождения, в настоящее время почти безлесен. Является одним из наиболее удалённых обитаемых островов. Расстояние до континентального побережья Чили составляет 3703 км, до острова Питкэрн (ближайшего населённого места) – 1819 км. Остров был открыт голландским путешественником Якобом Роггевеном в Пасхальное воскресенье 5 апреля 1722 года.



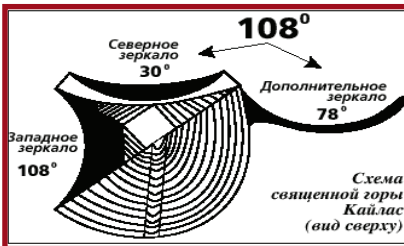
Слева. Кратер погасшего вулкана и следы каменоломни на острове Пасхи, где вырезались исполины. Аэрофотосъёмка.

Тибет

Индийскую гору Кайлас, лежащую на 30-й параллели, считают святейшим местом на планете Земля представителей четырёх религий – индуистов, буддистов, джайнов и последователей древнего тибетского учения Бон.

Утверждают, что Кайлас «дышит» – гора то «растёт», то «падает», её высота меняется за год на несколько десятков метров.

Фактически, Кайлас – это правильная четырёхгранная пирамида, склоны которой ориентированы по сторонам света. Верхушка закруглена в виде яйца и покрыта шапкой вечного льда, а сам Кайлас словно сложен из 13 горизонтальных ступенчатых слоев. Внешне гора напоминает гигантскую каменную лестницу, ведущую от основания к вершине.



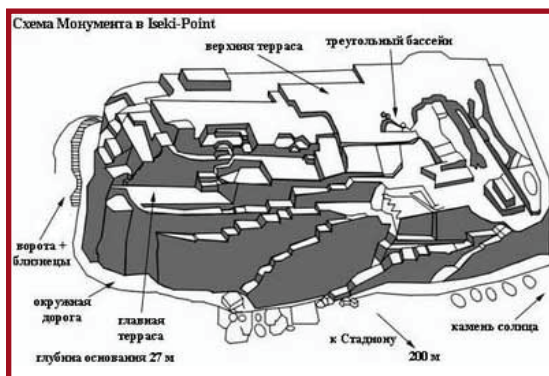
Тибет. Гора Кайлас. Внизу слева схема линзовидных отражающих «зеркал» на склонах горы.

Главная загадка Кайласа – это его склоны, похожие на вогнутые сферические каменные зеркала высотой до 1800 м.

Япония

Западнее Японского острова Иёнагуни в южной оконечности японского архипелага Рюкюу водолаз Кихахиро Аратаке обнаружил в 1985 году, пирамиду, построенную из огромной скалы площадью $183 \times 150 \text{ м}^2$

Она представляет собой 5 этажей прямоугольных скал



Кроме того, геологи университета Бостона, США около пирамиды нашли остатки, похожие на улицы и огромные ступеньки из ряда скалистых отложений высотой 1 м, которые выглядят как ступенчатая пирамида. Пирамида исчезла примерно от 10000 до 12000 лет назад под поверхностью моря. Поблизости от большой пирамиды нашли ещё маленькие, пирамидальные строения.



Пирамиды Японии

Руины, обнаруженные аквалангистами на рубеже 1980 – 1990-х годов, сразу стали предметом ожесточённых споров, в которых приняли участие как историки, так и геологи.

Несмотря на строгие плоскости, правильные дуги и идеально прямые параллельные рёбра элементов комплекса, целиком вырубленного в скале, большинство учёных упорно называло это сооружение «причудливой игрой естественных природных процессов». Основная тому причина достаточно проста – по самым грубым подсчётам этот комплекс мог возвышаться над поверхностью воды не менее 10 тысяч лет назад, когда уровень воды в Мировом океане был метров на 40 ниже нынешнего.

Однако, если вспомнить о гипотезе столкновения спутника Луны с Землёй, смещении полюса и строительстве мировой системы пирамид, то, возможно, действительно пирамиды Японии имеют столь почтенный геологический возраст. Споры о «естественности образований» могли бы тянуться ещё очень долго, но не так давно аквалангисты нашли стопроцентное подтверждение искусственного происхождения японского подводного комплекса. Группа исследователей, посланная телекомпанией Discovery Channel, обнаружила на дне скульптурное изображение человеческой головы, причём в характерном головном уборе из перьев, явно перекликающемся с аналогичными скульптурами Центральной Америки...



Бермуды

12 Октября 2009 года в информации <http://enigma-project.ru/news/piramidy-na-dne-bermudskogo-treugolnika.html> в рубрике «Аномальные зоны» было опубликовано следующее сообщение:

«Разгадана одна из последних загадок нашей планеты – на дне Бермудского треугольника, обнаружены пирамиды». Учёные океанографы начали исследовать дно зоны Майами-Бермуды-Пуэрто-Рико. Примерно в середине Бермудского треугольника они обнаружили нечто, напоминающее пирамиду.

Ещё в 1979 году было сделано заявление известного знатока тайн Бермудского треугольника Чарльза Берлица о случайном обнаружении рыболовным судном в глубинах Бермудского треугольника гигантской пирамиды, превосходящей по размерам пирамиду Хеопса! Возможно, в районе Бермудского треугольника затонул какой-либо монумент древности.

Все легенды о Бермудском треугольнике становятся объяснимыми, если предположить, что затонувший монумент, подобно пирамидам и каменным «зеркалам» Кайласа, «меняет течение времени», искривляет пространство.

Оказалось, что поверхность граней пирамиды образована очень гладким стеклоподобным материалом, по размерам подводное сооружение превосходит пирамиду Хеопса в три раза. Примерный возраст бермудской пирамиды оценивается в 500 лет. Её объёмные изображения, полученные с помощью анализаторов, показывают, что пирамида – монолит, без следов разъемов или трещин.



*Пирамида на дне океана
в Бермудском треугольнике*

В 2003 году были обнаружены ещё две похожие пирамиды: во впадине Беллинсгаузена (недалеко от южной части Чили) на глубине 6000 метров – группа светящихся пирамид. Информация об удивительных пирамидах стала достоянием военных, которые тут же всё засекретили.

Гавайи

Самый большой и молодой остров Гавайского архипелага в Тихом океане – о. Гавайи входит в цепочку семи вулканов. Вулкан Мауна Лоа, который составляет более половины острова – самый большой щитовой действующий вулкан на планете. Высота вулкана от морского дна до пика составляет почти 17 километров. Это самая высокая гора в мире.



Гавайи. Мауна Лоа

Китай

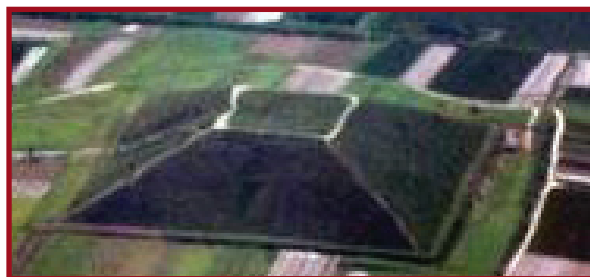
В центральном Китае, примерно в 100 километрах от горы Сиань, в провинции Шэньси расположен комплекс гигантских пирамид, высота самой крупной из которых оценивается чуть ли не в 300 метров, вдвое выше Великой пирамиды в Гизе.

Район находится в зоне, закрытой для посещения иностранцев. Впервые о китайских пирамидах на Западе стало широко известно ещё в 1947 году, когда их случайно обнаружили пролетавшие над местностью американские лётчики. Было сделано несколько снимков и их поместили в газеты, а в 1957 году в журнале Life.

Немецкий исследователь Хартвиг Хаусдорф, в 1994 году сумел проникнуть в закрытый район провинции Шэньси и сделать там фоторепортаж о пирамидах. Выяснилось, что эти сооружения абсолютно не свойственны известным периодам в истории тысячелетней китайской культуры.



Пирамиды Китая

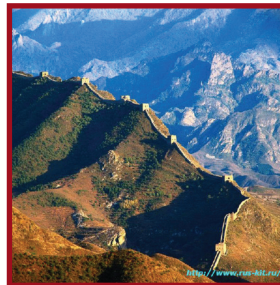


Хаусдорфу удалось разыскать дневники двух австралийских торговцев, забравшихся в Шэньси в 1912 году. Они ссылаются на информацию от старого буддийского монаха, который сообщил, что пирамиды эти упоминаются в чрезвычайно древних записях, хранящихся в его монастыре. Записям около 5 тысяч лет, но и там пирамиды именуются «очень старыми, построенными ещё при древних императорах, которые говорили, что происходят от сынов неба, сошедших на землю на своих огненных металлических драконах»...

По оценкам Хаусдорфа, общее число пирамид в регионе превышает сотню, все они сделаны из глины, но за прошедшие века и тысячелетия глина по твёрдости стала почти как камень. Ещё крайне интересный факт: пирамиды Китая сориентированы так же, как и пирамиды Гизы – на звёзды в созвездии Ориона.

Не менее интересна история Великой Китайской стены, которая проходит параллельно 30 широте. Принято считать, что строительство «каменного пояса» началось ввиду необходимости укрепления границ Китайского государства.

На севере набирали силу кочевники, и империя решила самоизолироваться от внешнего мира. Эта версия считается общепринятой, но интересна и другая версия.



Великая китайская стена

Основанием грандиозного монумента послужили две несущие стенки, расположенные на расстоянии 7 метров друг от друга. Промежуток между стенками засыпался грунтом, глиной и телами безымянных рабочих, которых хоронили в стене в вертикальном положении.

По некоторым данным, за время строительства в Великой Китайской стене было захоронено около миллиона людей!

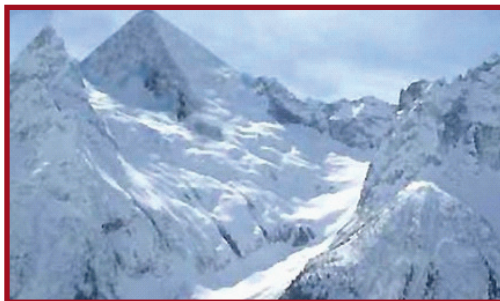
Исследователи аномальных явлений считают это миллионное захоронение ничем иным, как огромной батареей. Любое физическое тело имеет электрический потенциал, а планета Земля – в первую очередь.

Согласно законам электродинамики, движение нашей планеты вокруг Солнца порождает электромагнитную волну. Учёные выдвигают фантастическую гипотезу: внешние стены монумента можно использовать в качестве двухпроводной линии связи. По ним, предположительно, пускали сигнал, который менял структуру естественного электромагнитного поля Земли, и посылалась информация через комплекс межгалактической связи в Гизе!

Камчатка

Вулканологи и геофизики не верили, что «неизвестные разумные силы способны «выращивать» гигантские пирамидальные кристаллы и превращать их в рефракторные антенны космической связи. Н. Гончаров, В. Макаров, В. Морозов. основываясь на своих исследованиях, утверждают, что Земля – кристаллоподобный силовой каркас, который постоянно растёт, кристаллизуя горы.

*Пирамиды
Камчатки*



Учёные американского геологического института AGI обнаружили гигантскую пирамиду на одной из гор Серединного хребта Камчатского полуострова. Раньше её не могли обнаружить из-за вечных снегов на вершине хребта, но с наступлением действия парникового эффекта пирамида обнажилась. По величине пирамида превосходит египетские. Проведённые исследования показали, что происхождение этой пирамиды искусственное.

Перу

На территории Перу до наших дней сохранилось большое количество древних пирамид, созданных руками древних индейских цивилизаций Мочика, Чиму и Секан.

Они существовали здесь ещё до появления цивилизации инков. Памятники цивилизации Мочика находятся в районе города Трухильо в часе полёта на север от Лимы, столицы Перу. Мочика процветала примерно между I и VII веками нашей эры. Пирамиды Перу совершенно не похожи на мексиканские пирамиды. У древних перуанцев была большая проблема со строительным материалом. Камня у них не было, строили они главным образом из очень недолговечного материала – глиняных кирпичей, которые плохо сохранились. Поэтому пирамиды Перу выглядят не так внушительно, как мексиканские и чаще всего напоминают бесформенные холмы.

Наиболее известные пирамиды Мочика – это пирамиды Храм Луны и Храм Солнца, которые стоят недалеко друг от друга. По высоте эти сооружения на несколько метров ниже знаменитой пирамиды Хеопса.



Пирамиды Перу

Пирамида Солнца считается самой большой в данном регионе. Вход на неё был закрыт, потому что она была не отреставрирована. Доступ туристам открыт только на пирамиду Луны. На ней поражают прекрасно сохранившиеся за полторы тысячи лет фрески и красочные барельефы.

Именно на этой пирамиде, служившей церемониальным центром, приносились многочисленные человеческие

жертвы. Другая долина пирамид принадлежит культуре Ламбайеке. Они расположены на северном побережье Перу, 33 км на север от города Чиклайо.

В этом месте (долина пирамид Тукуме) были обнаружены около двадцати строений, созданных носителями ламбайекской культуры, или культуры Сикан. Пирамиды почти 40-метровой высоты были построены из глиняных кирпичиков. Они расположены на площади, составляющей 220 гектар. Исследования показывают, что первые пирамиды были сделаны в 700 году нашей эры.



Пирамида Мачу Пикчу. Перу

Самая выдающаяся пирамида – Уака Ларга, самая длинная в Южной Америке (её длина равна 700 метрам, ширина составляет 280 м и высота 30 м).

Канарские острова

Пирамиды Гуимар (Pirâmides de Guimar) – расположены в деревне Гуимар на восточном побережье острова Тенерифе. У всех пирамид на западной стороне имеются лестницы, которые утром в день зимнего солнцестояния ведут точно к восходящему солнцу.

До недавнего времени эти пирамиды считались лишь нагромождениями камней, и местные жители даже помнят время, когда они существовали во многих местах острова, но были снесены из-за их предполагаемой бесполезности и использовались как источник дешёвого строительного материала.

Непосредственно в Гуимар было девять пирамид, из которых сохранились только шесть.

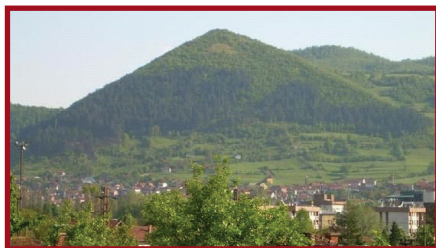
Лишь благодаря великому учёному и путешественнику Туру Хейердалу и его другу – норвежскому судовладельцу Фреду Олсену, оставшиеся пирамиды были спасены от разрушения. В месте их расположения был открыт этнологический парк.



*Канарские острова.
Пирамиды Гуинар.*

Югославия. Крым

Боснийский учёный в ходе раскопок обнаружил первую пирамиду в Европе. Он заявляет, что пирамиду построили более десяти тысяч лет назад. Семир Османагич проводит раскопки на холме Высочица возле Сараево. Он считает, что каменное сооружение – произведение иллирийцев, которые 27 тысяч лет назад населяли Балканы от среднего течения Дуная до Адриатики. Внутри холма на глубине 17-ти метров археологи нашли глыбы из песчаника, которого в округе больше нигде нет. Учёные пришли к выводу, что камень завезли специально для строительства культового сооружения.



Пирамиды Югославии

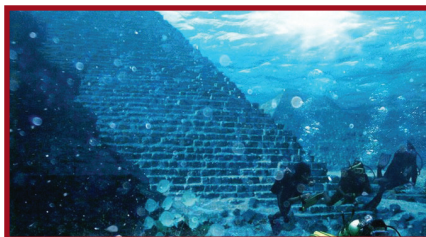


Пирамиды Крыма

Багамы. Гватемала. Байкал. Черногория

В 60-х годах XX века в озере Рок близ города Мэдисон (США) были обнаружены три затонувшие пирамиды. В сентябре 1968 года группой учёных под руководством профессора Валентайна (США), на глубине 30 метров возле островов Бимини и Андрос в Багамском архипелаге, был обнаружен затонувший город Пирамид.

Его примерный возраст – 12 тысяч лет.



Подводные пирамиды на Багамах



*Гватемала.
Пирамида Тикаль.
Руины Тикаль.
Пирамида Великого
Ягуара.*



Пирамиды Байкала



*Скадарские пирамиды
Черногории*

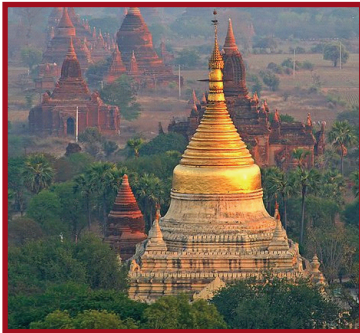
Сальвадор. Гондурас. Бирма. Судан. Таиланд.



Пирамиды Сальвадора



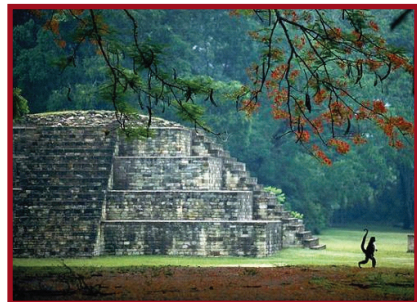
Гондурас. Пирамиды Копан



Пирамиды Бирмы



Пирамиды Судана



Пирамиды Таиланда



И наш последний вопрос читателю: Неужели такая прекрасная планета, единственная из живых известных нам планет, недостойна более бережного и чуткого отношения?

Использованные материалы

<http://images.km.ru/education/referats/img/66556~004.jpg>
<http://veinik.ru/veinik/img/blog/1141185426140.gif>
<http://www.lachugin.ru/work1.php>
<http://feng-shui.ua/wp-content/uploads/2009/06/wmm2005intensity.gif>
<http://images.geo.web.ru/pubd/2001/11/05/0001161636/fig2-2.gif>
Наука » Гончаров Н.Ф., Макаров В.А., Морозов В.С. «В лучах кристалла Земли» «Техника – молодежи», N1, 1981, рубрика «Доклады лаборатории Инверсор», доклад N74.
http://www.pokeroff.ru/uploads/wysiwyg/1375622_1945853_1945854_r640.png Мауна Лоа
http://gazeta.aif.ru/data/mags/aif/1350/pics/38_02_01.jpg
<http://young.rzd.ru/dbmm/images/41/4080/2686728>
<http://2.bp.blogspot.com/-Y4yJiQQTBDw/Thnq0cubz6I/AAAAAAAAAig/mSCMXFzNNqE/s1600/%25D1%2581%25D1%2583%25D0%25B4%25D0%25B0%25D0%25BD1.jpg>
http://www.saga.ua/modules/gallery/albums/29/61d5e6f98bcee96f4a122c60f4b3f740_big.jpg
http://img-fotki.yandex.ru/get/3205/siron-bunet.2a/0_1f5a7_3798ecef_XL
<http://baikalstyle.ru/content/im/baikalskie-piramidy>
http://content.foto.mail.ru/inbox/anexia/_answers/i-1367.jpg
<http://album.foto.ru/photos/or/271447/1751723.jpg>
<http://starlion18.narod.ru/solar5.JPG> http://img0.liveinternet.ru/images/attach/c/1/54/150/54150974_1200339922_90.jpg
http://sfw.org.ua/uploads/posts/2010-05/1273832595_17220744.jpg
<http://www.liveinternet.ru/users/carpo008/post165843630/>
<http://www.ecology.md/section.php?section=history&id=1949>
<http://s014.radikal.ru/i329/1103/c9/51d0c781e01e.jpg>
<http://pentakle.ru/teoriya-involucii/piramida/>
http://www.softmixer.com/2011/06/blog-post_7847.html
<http://moikompass.ru/img/compass/2008-08-31/chinawall/11169494.jpg>
http://mbe2009.ru/d/100008/d/image_36.jpg